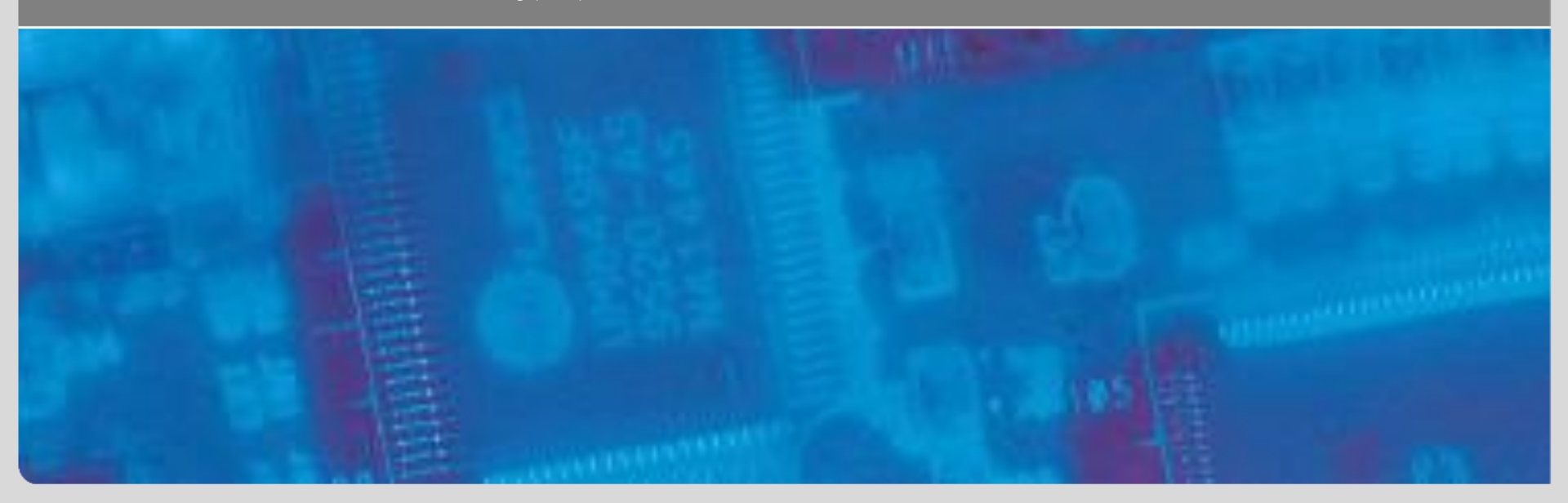




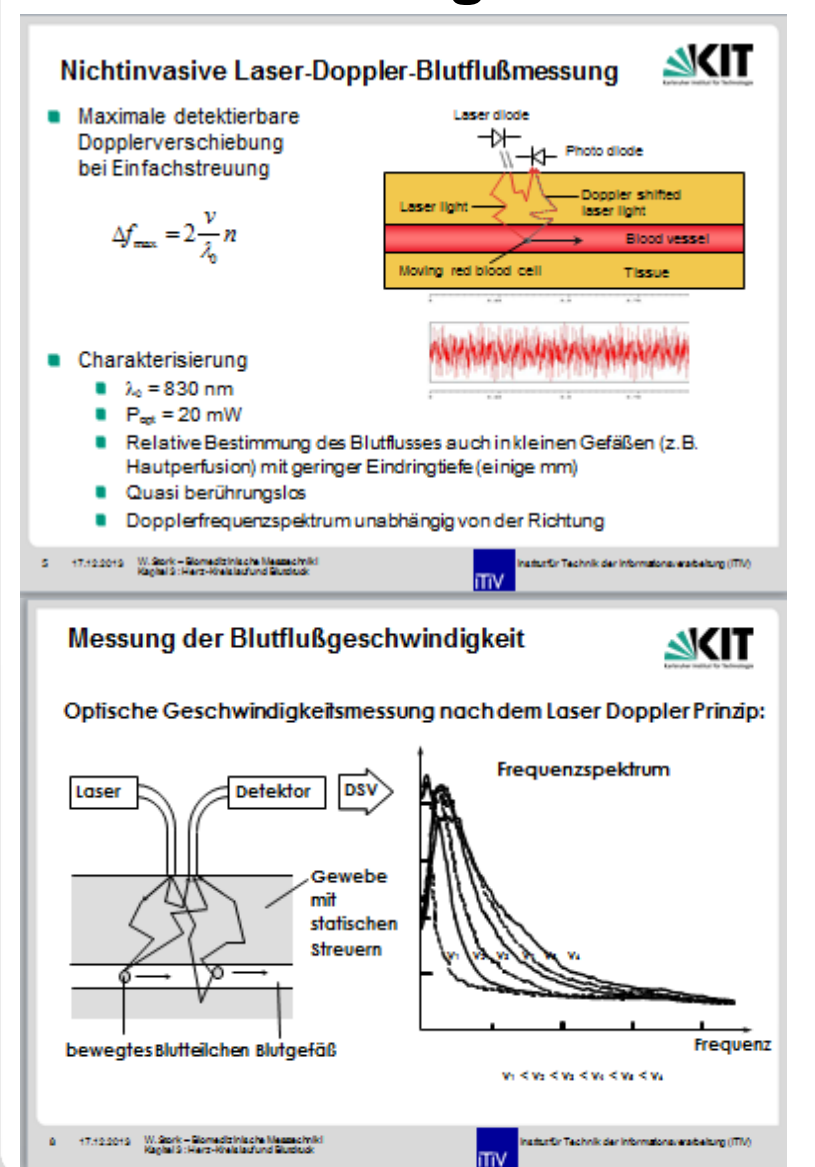
Biomedizinische Messtechnik I

Prof. Wilhelm Stork

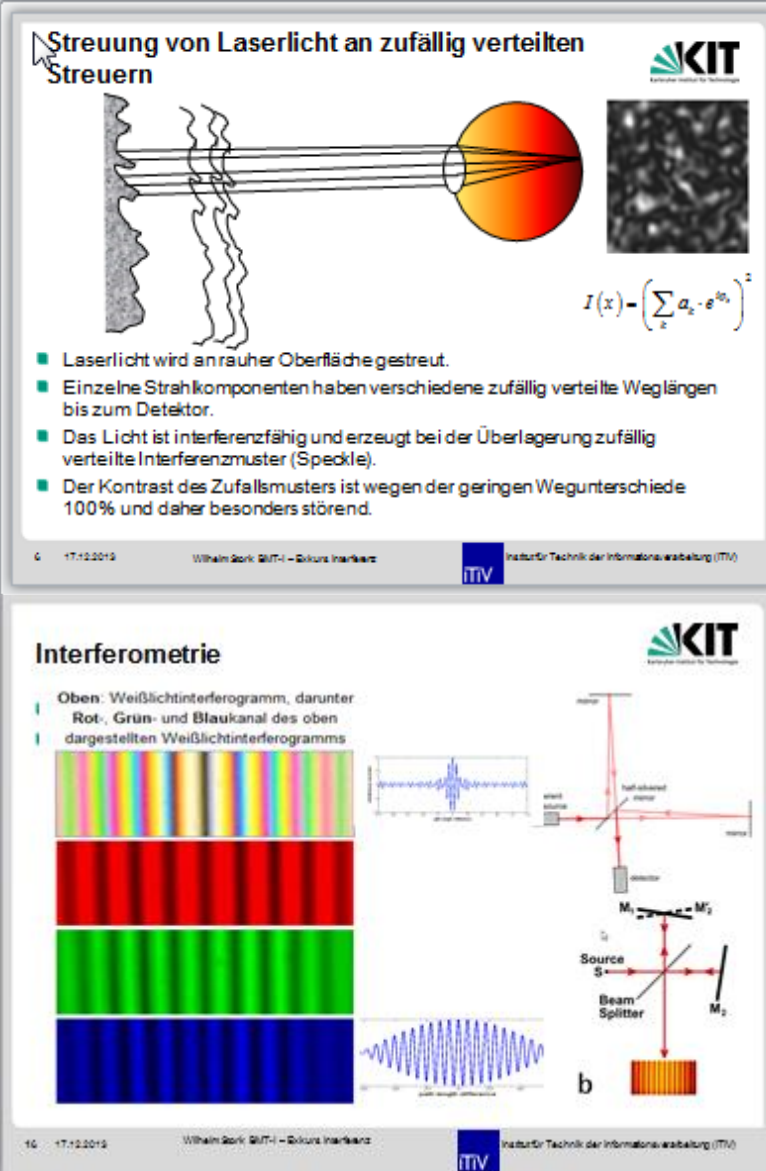
Institut für Technik der Informationsverarbeitung (ITIV)



Wiederholung letzte Vorlesung



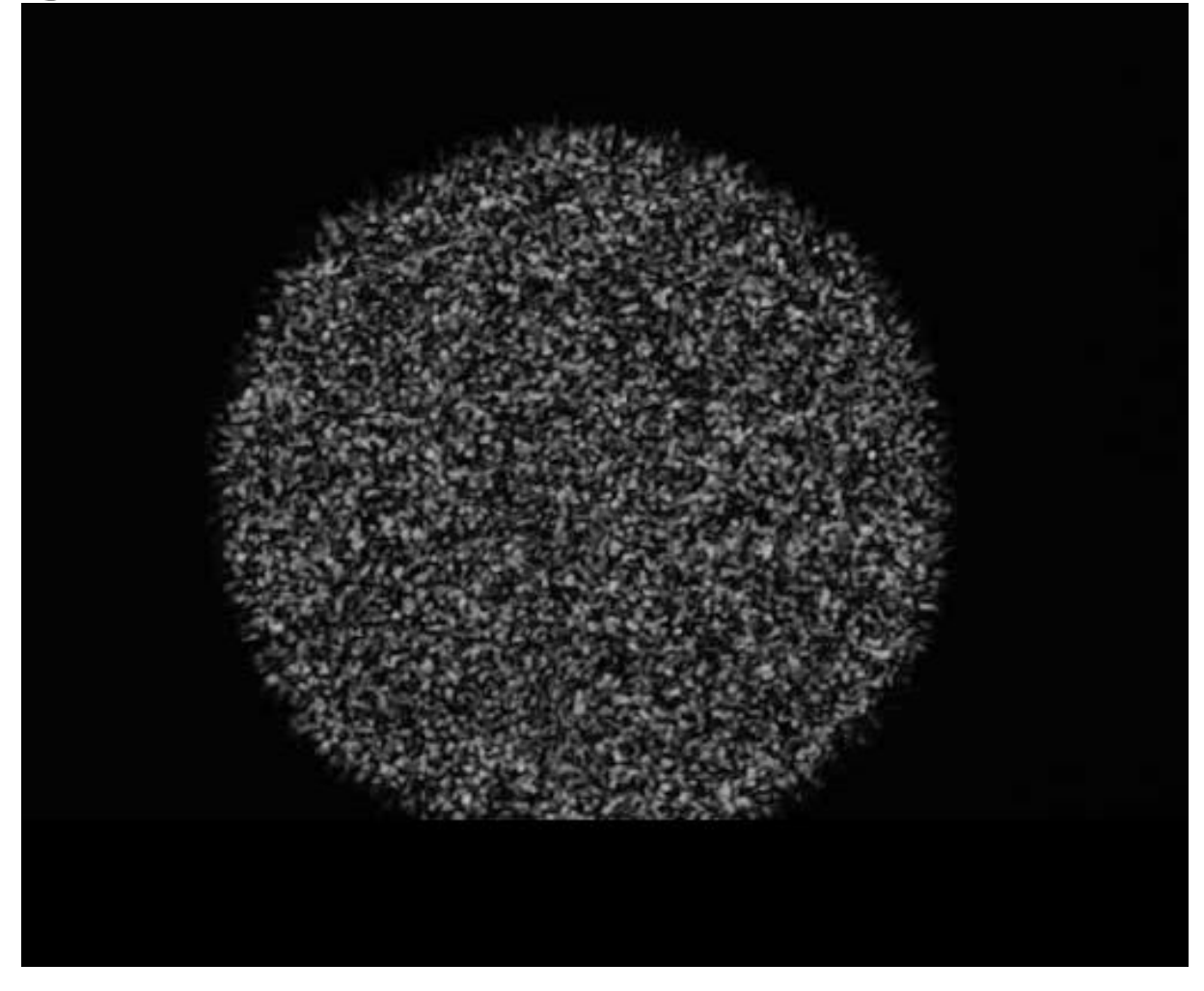






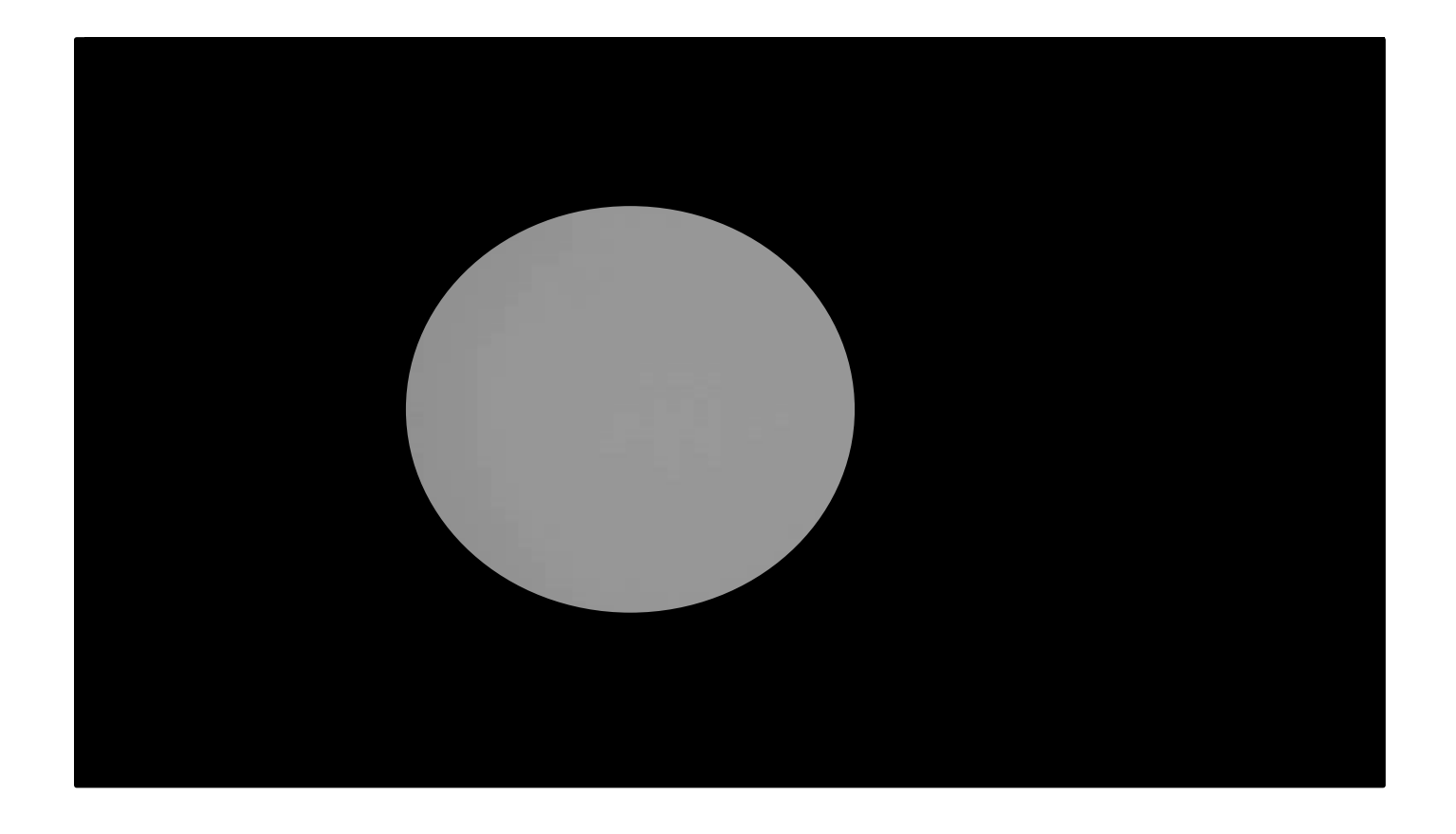
Bewegtes Papier kohärent unscharf





Bewegtes Papier inkohärent

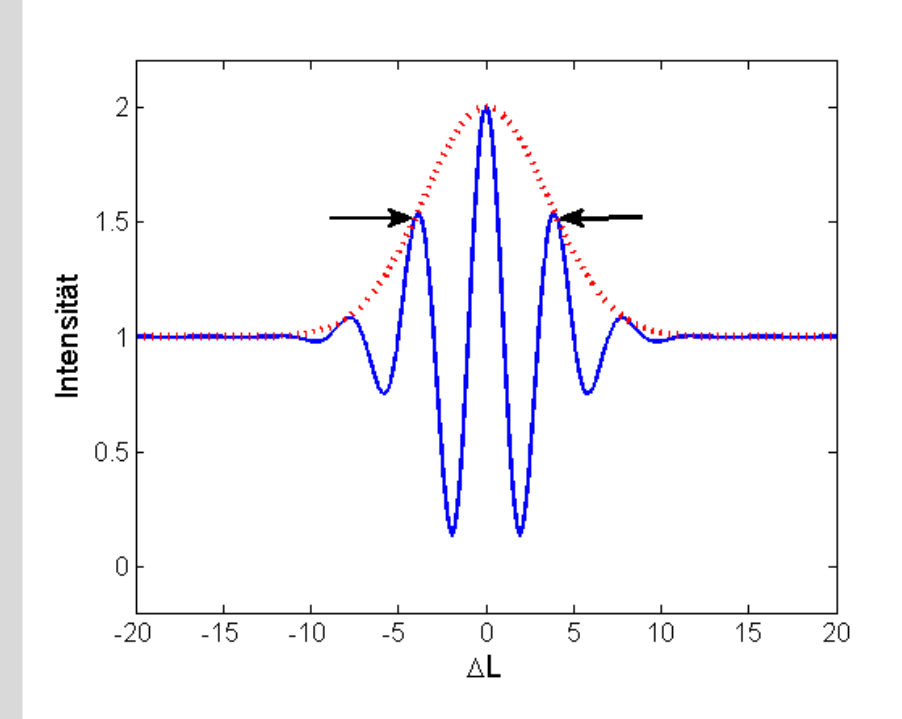






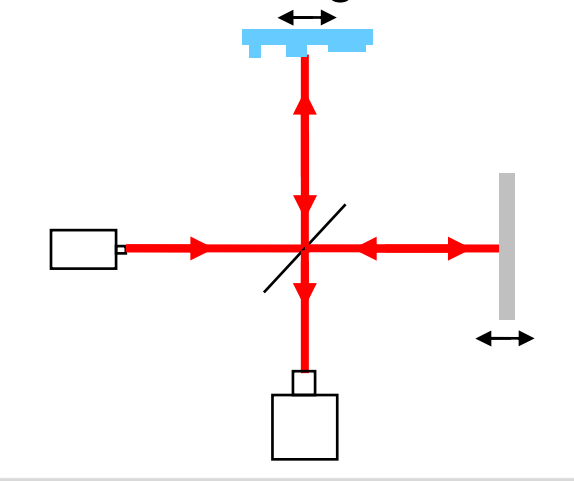
Weißlicht-Interferometrie





- Verwendung von kurzkohärentem Licht erlaubt eindeutige Lokalisierung der Reflexion; Interferenz nur bei genauem Längenabgleich des Interferometers
- Kohärenzlänge bestimmt die Auflösung und ist umgekehrt proportional zur Bandbreite der verwendeten Strahlung

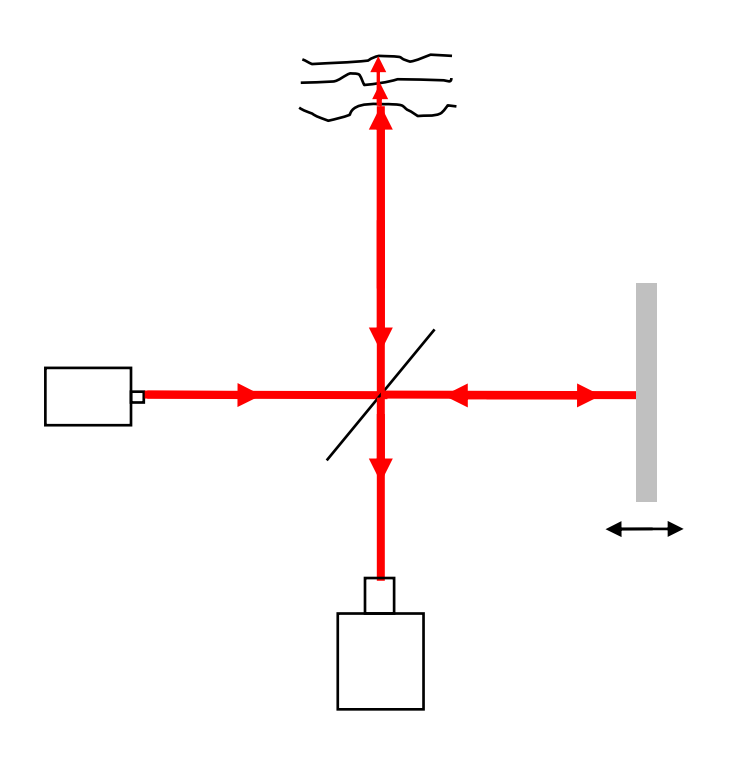
$$I = I_1 + I_2 + 2\sqrt{I_1 I_2} \gamma \Delta L \cos\left(2\pi \frac{\Delta L}{2\lambda}\right)$$

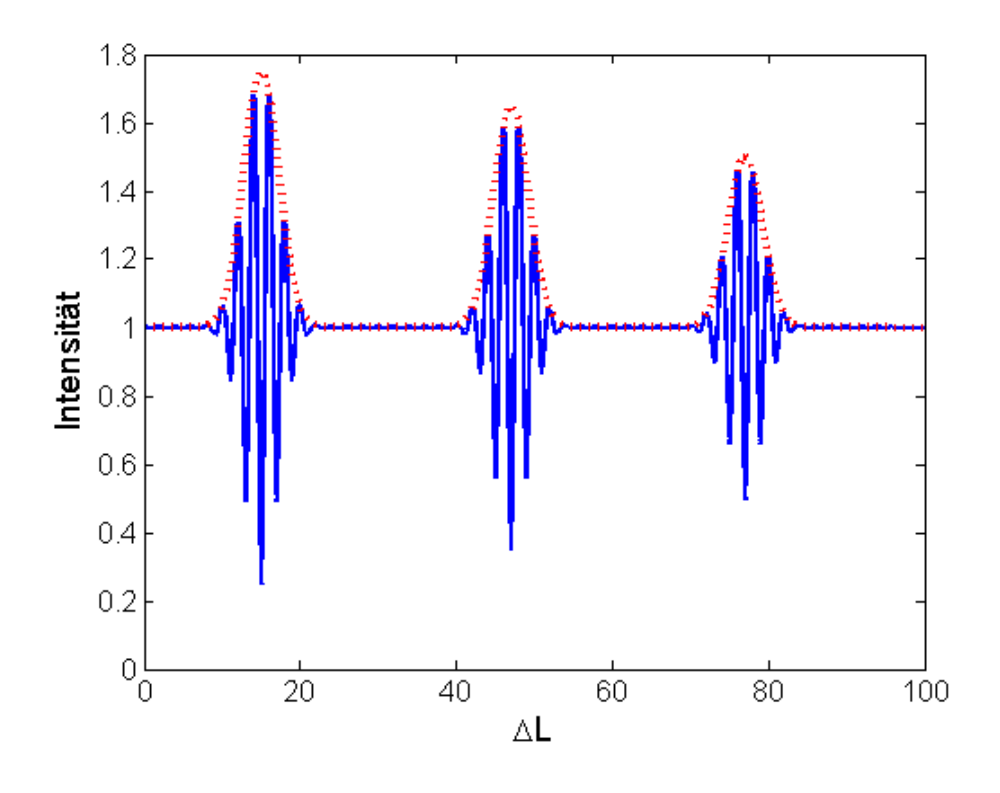


Drei Schichten Sample



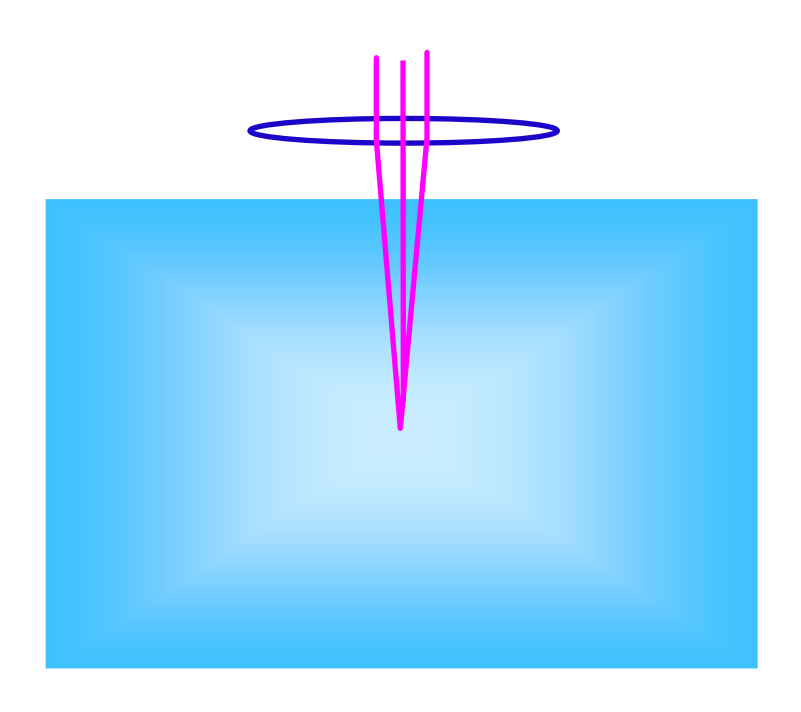
Wird der Samplestrahl nicht nur an der Sampleoberfläche reflektiert, sondern zusätzlich an anderen Tiefen des Samples, spricht man von **OCT**

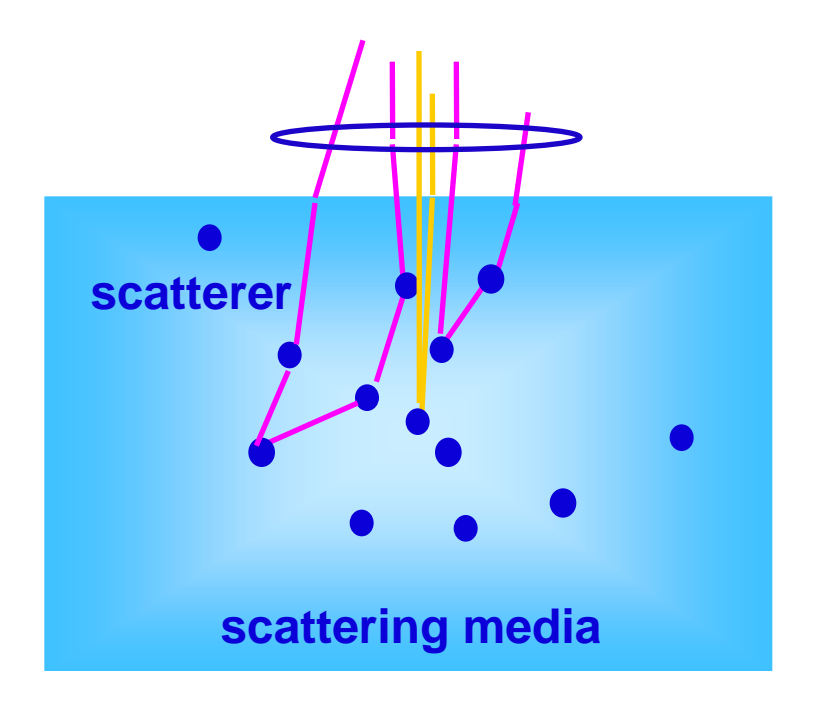




Streuende und homogene Medien

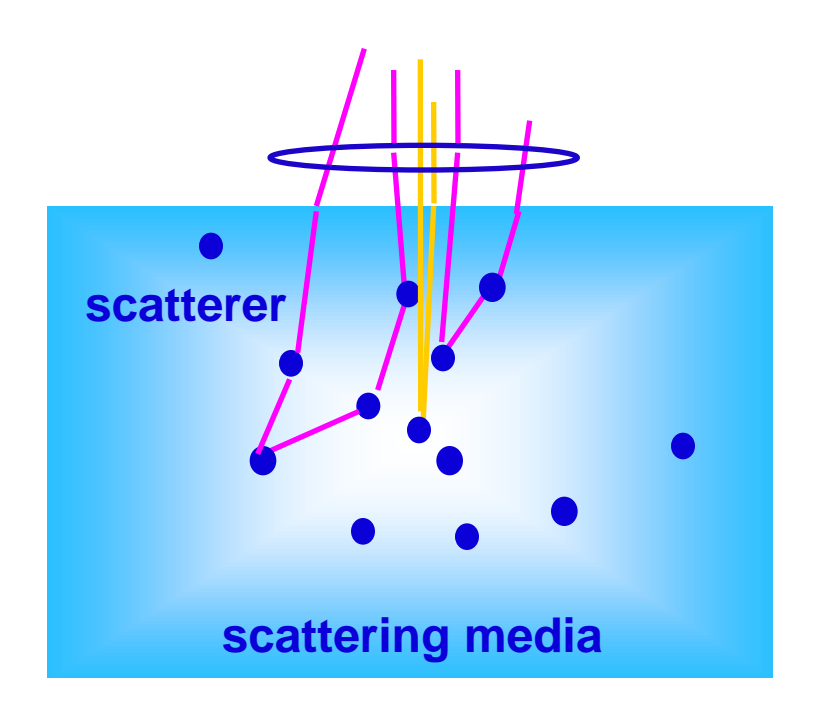


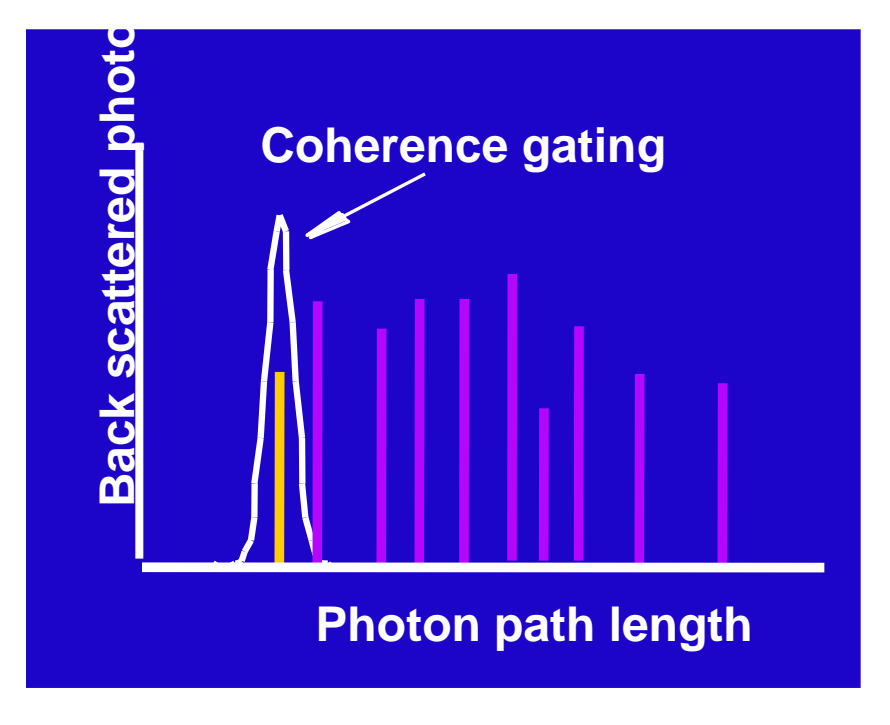




Weglängendifferenz wird als Gating Marker benutzt

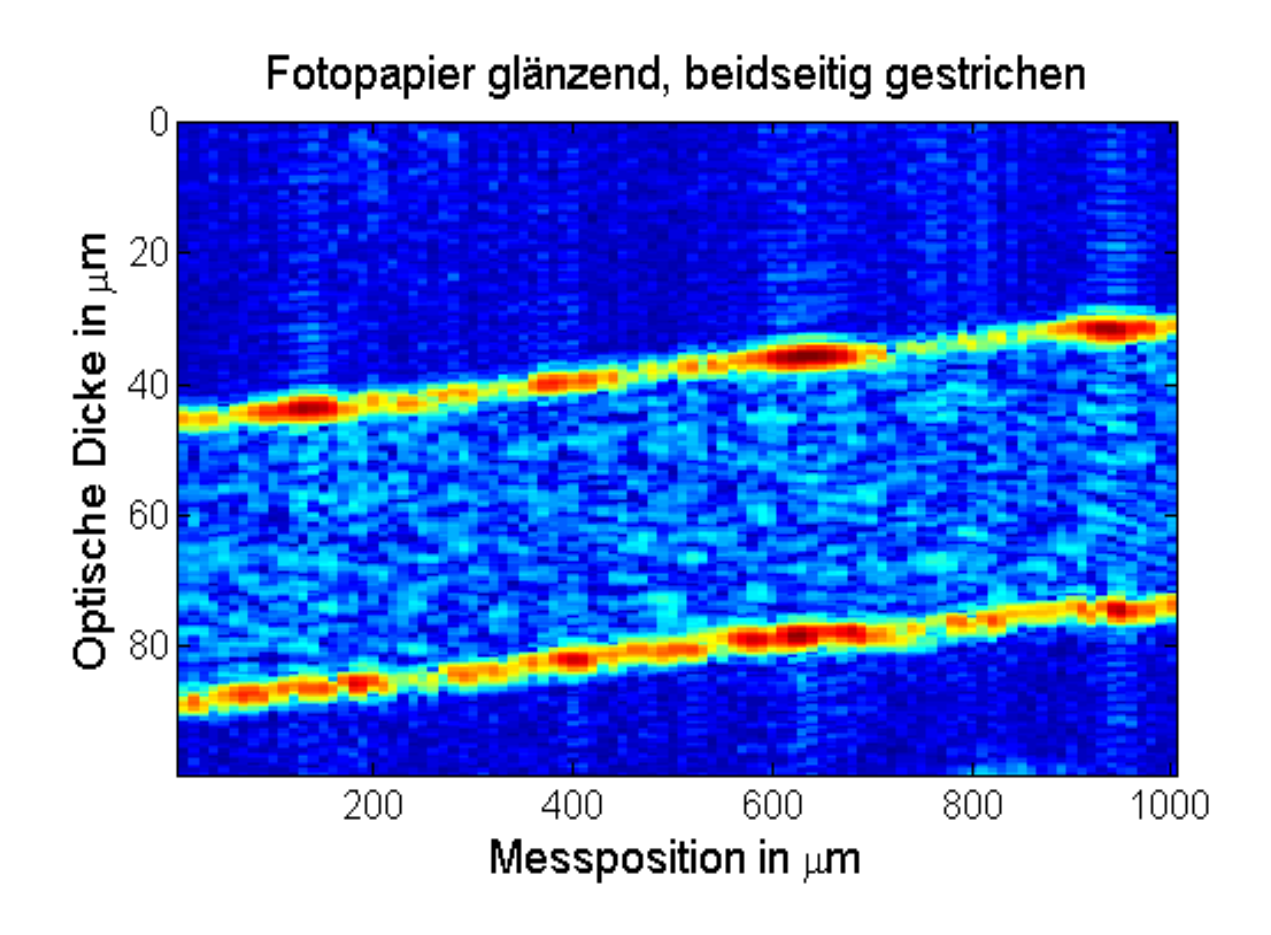






OCT Papier

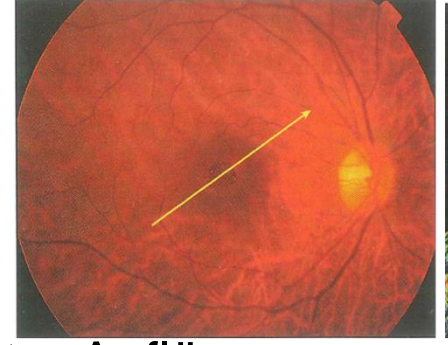


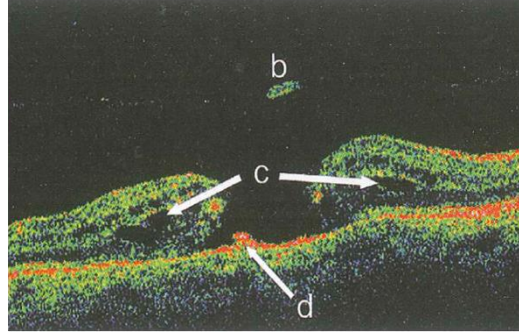


OCT



- Erste Erwähnung in der Literatur vor rund 20 Jahren
- Medizintechnik: Geräte von verschiedenen Herstellern für die Ophthalmologie und Dermatologie
 - Verwendete Lichtquellen: Superlumineszenzdioden NIR
 - Spectral Radar
 - Axiale Aufösung von 6-8 μm





Kommerzielles System mit höchster Auflösung: LLTech Light-CT Scanner

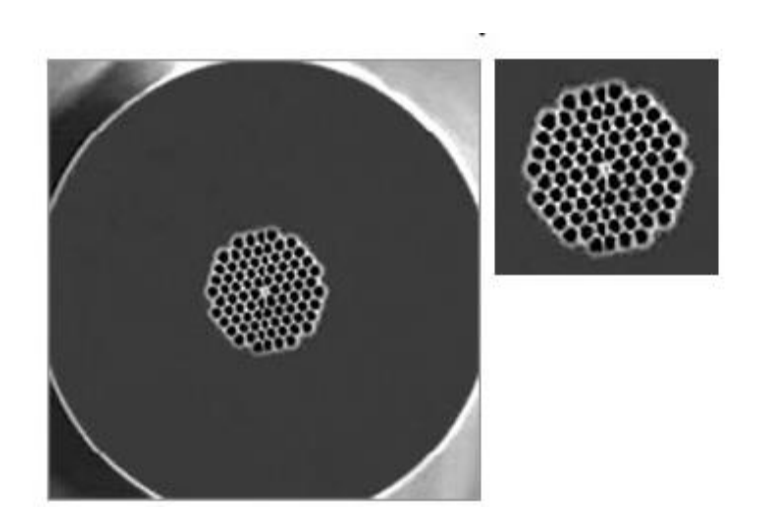
- Verwendet thermische Quelle (Glühlampe)
- Durch sehr große Bandbreite sehr kurze Kohärenzlänge von ca. 1 µm
- Geringe Leuchtdichte, dadurch lange Messdauer

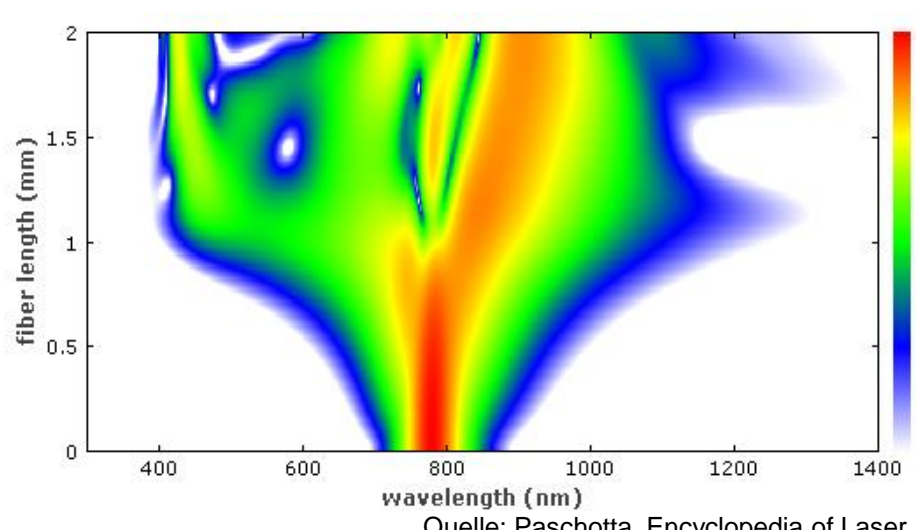


Photonische Kristall Fasern zur Erzeugung von weißem Laserlicht



- Superkontinuumserzeugung in Glasfasern (Photonic Crystal Fibers, PCF)
 - Starke Führung des eingekoppelten Lichts in Kern mit kleinem Durchmesser
 - Durch hohe Leistungsdichten nichtlineare Wechselwirkung mit Fasermaterial, die zu Verbreiterung des Spektrums führt

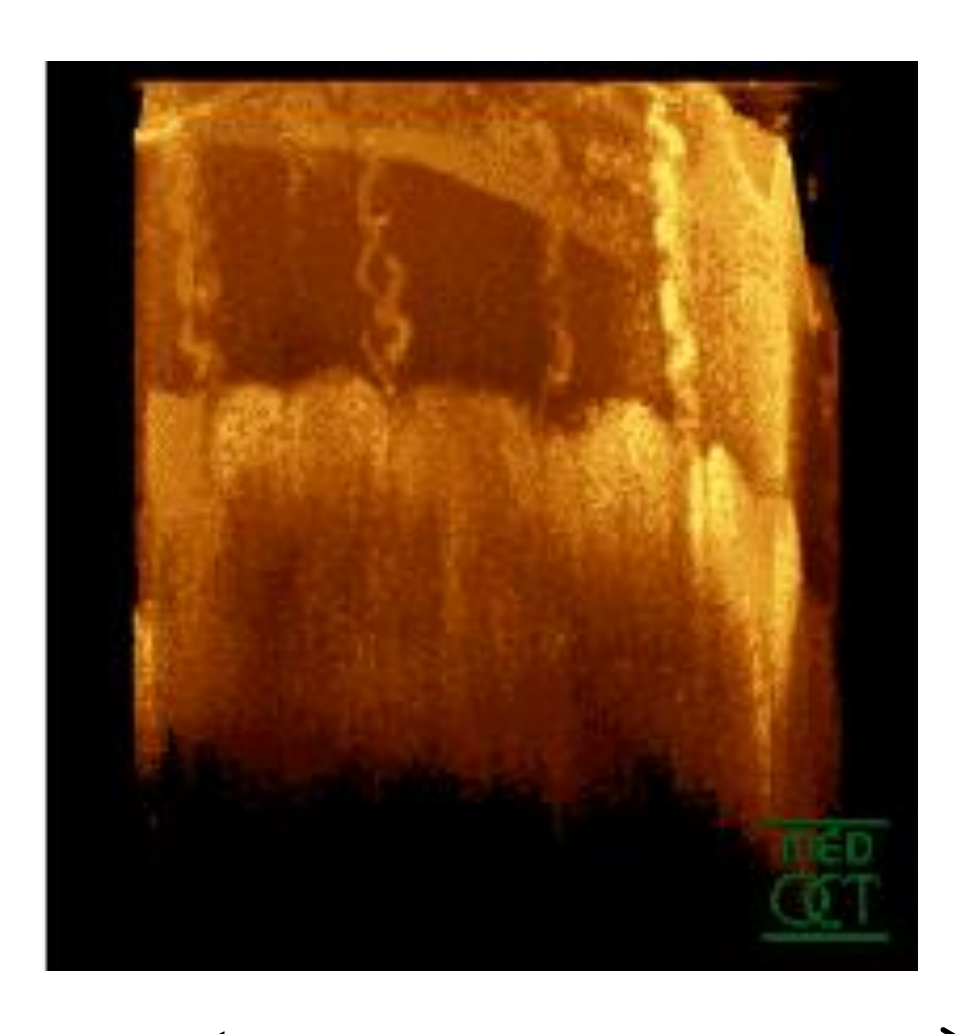




Quelle: Paschotta, Encyclopedia of Laser Physics and Technology

3-D Bild Haut auf der Fingerkuppe





1 mm



Sauertoffversorgung: Physikalisch-chemische Grundlagen



- Sauerstofftransport im Herz-Kreislaufsystem
 - Wie kommt der Sauerstoff aus der Luft in die Zelle?
- Sauerstoffpartialdruck
 - Anteil des gesamten Luftdrucks, der durch den Sauerstoffanteil der Atemluft verursacht wird
 - Luftdruck bei Normbedingungen pLuft ≈ 1000hPa, Sauerstoffanteil ≈ 20%
 → pO₂ ≈ 200hPa
 - Im Körper: pO₂ ≈ 100hPa (Durchmischung von Frisch- und Restluft)



Pulsoximetrie

Mechanik der Atmung





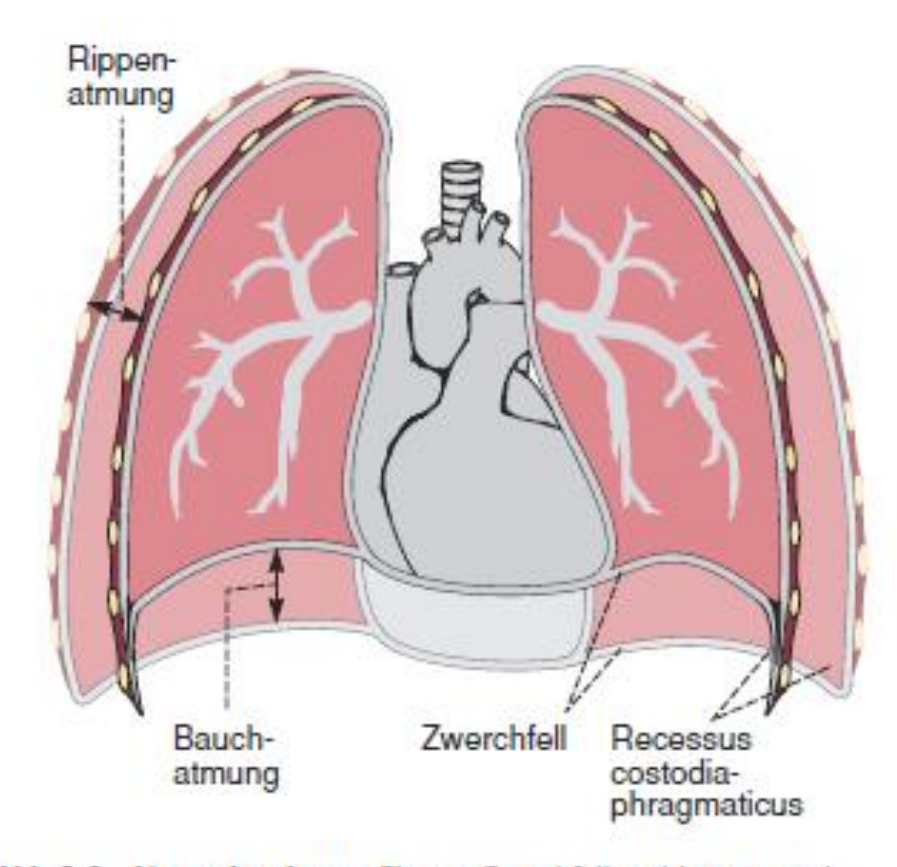


Abb. 9-3 Atemexkursionen. Thorax, Zwerchfell und Lungen nach starker Exspiration (dunkel) und starker Inspiration (hell).



Atmung





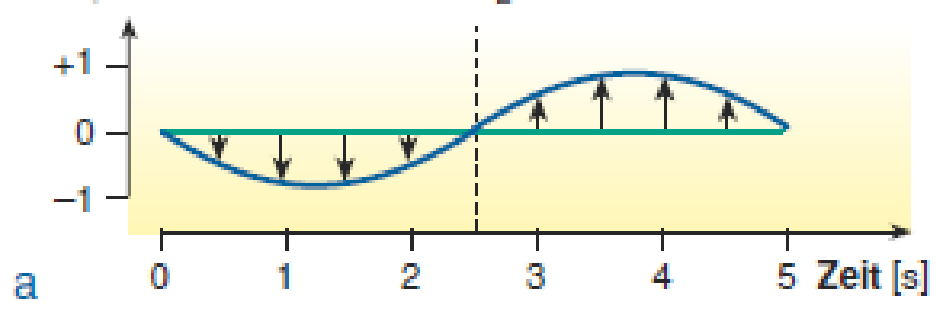


Pulsoximetrie

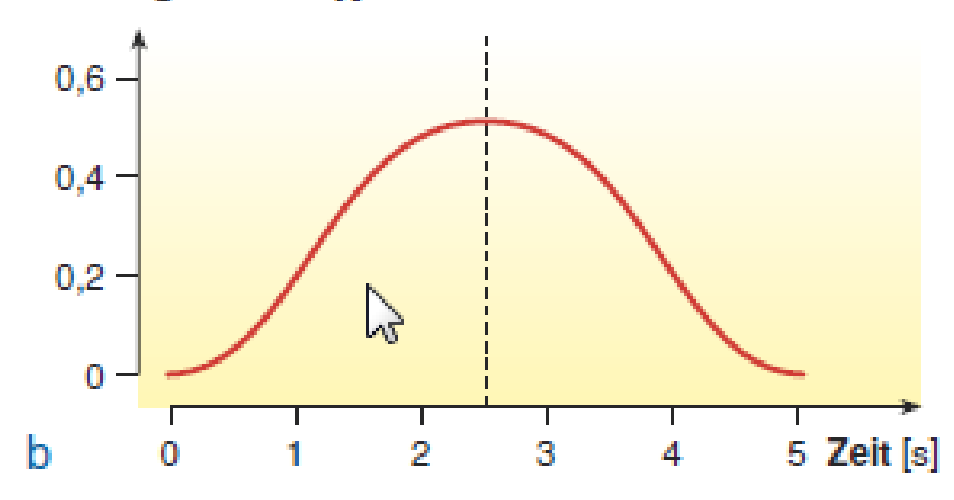
Druckverlauf und Atemstromvolumen



intrapulmonaler Druck [cmH2O]



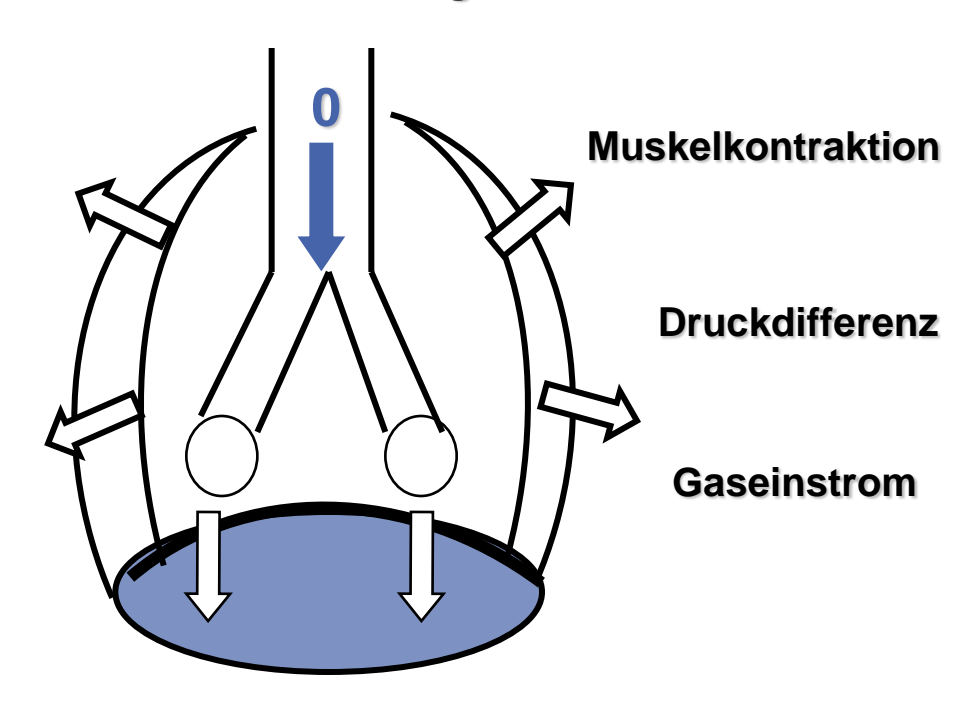
Atemzugvolumen [I]



Spontanatmung



Bei Einatmung



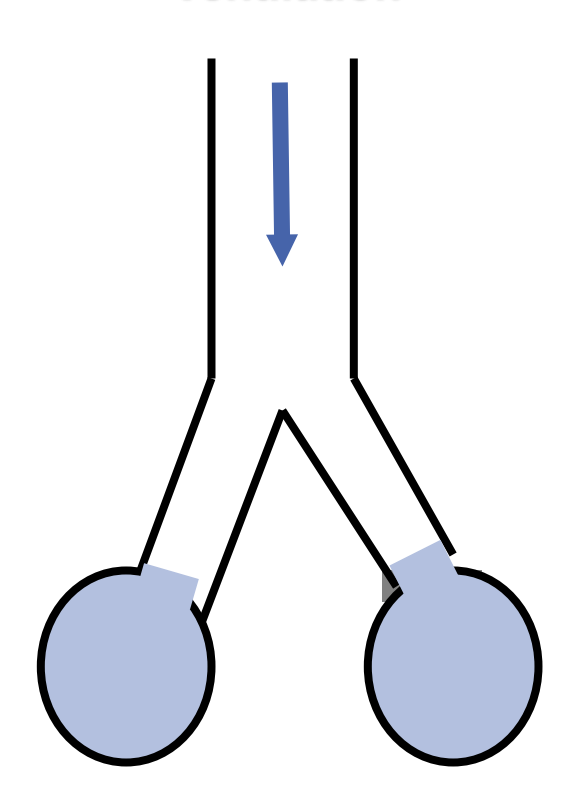
W. Stork - Biomedizinische Messtechnik I

Pulsoximetrie

Lungenbelüftung - Ventilation



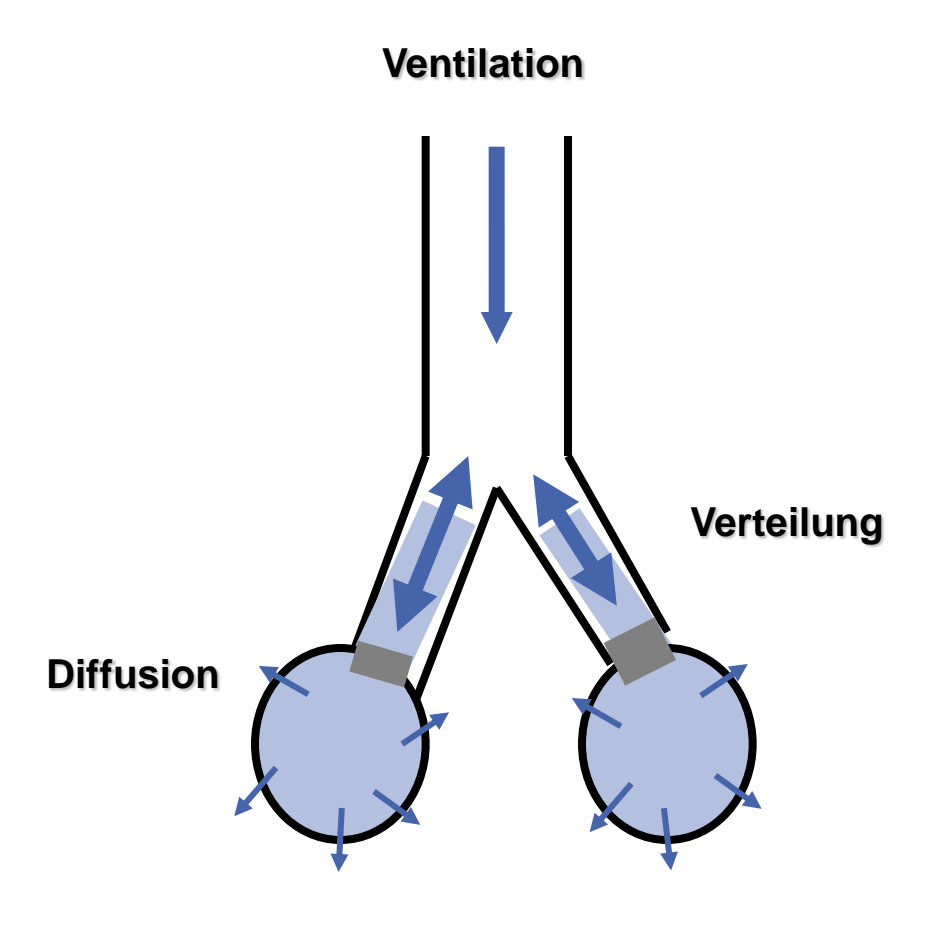
Ventilation



Atemzugvolumen ist das Luftvolumen, das bei einem normalen Atemzyklus einund ausgeatmet wird. In Ruhe beträgt es bei Erwachsenen ca. 0,5 Liter, unter Belastung kann es auf ca. 2,5 Liter ansteigen, bei ausdauertrainierten Spitzensportlern auf Werte bis um 4 Liter.

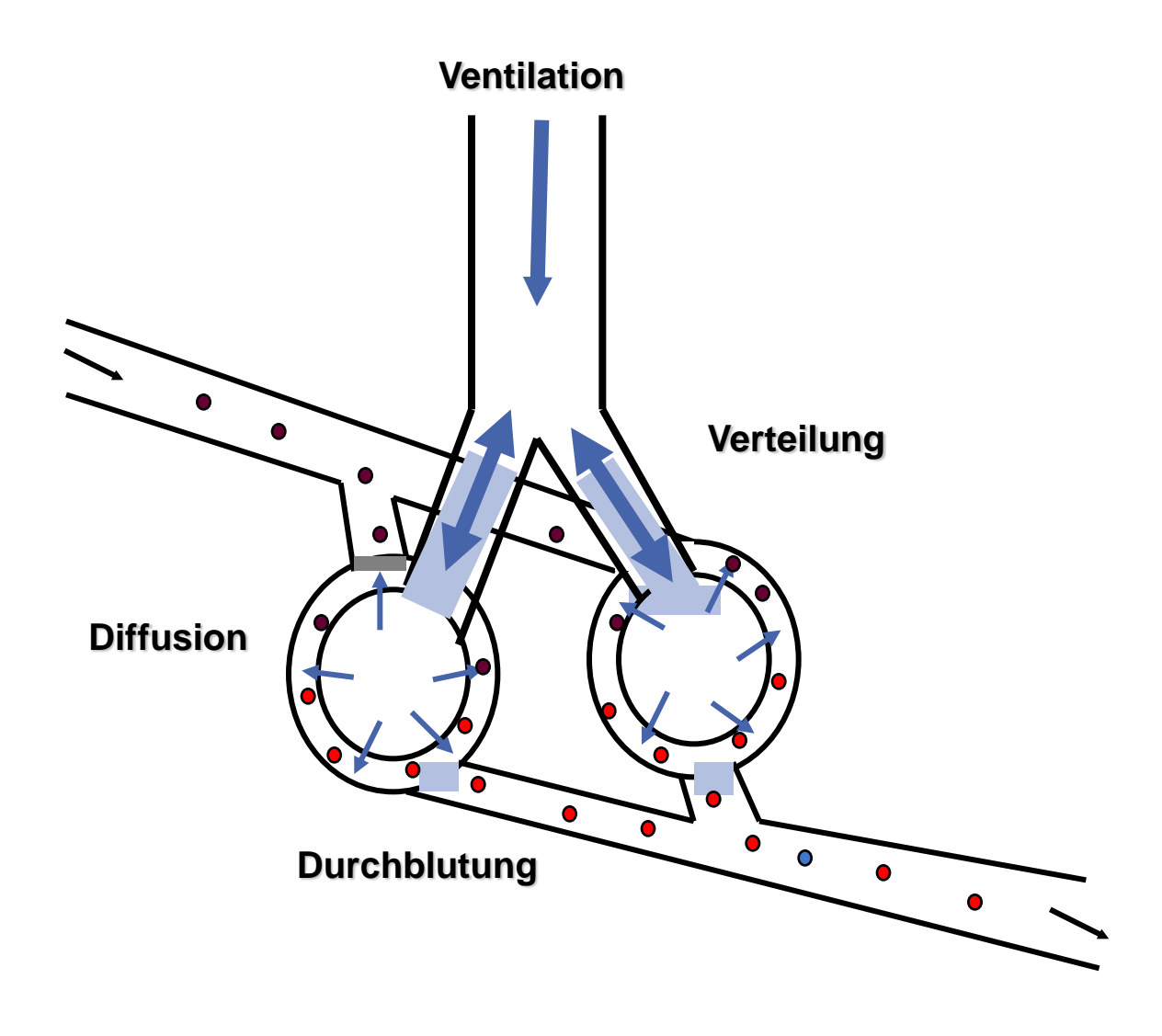
Diffusion





Ventilation/Perfusion

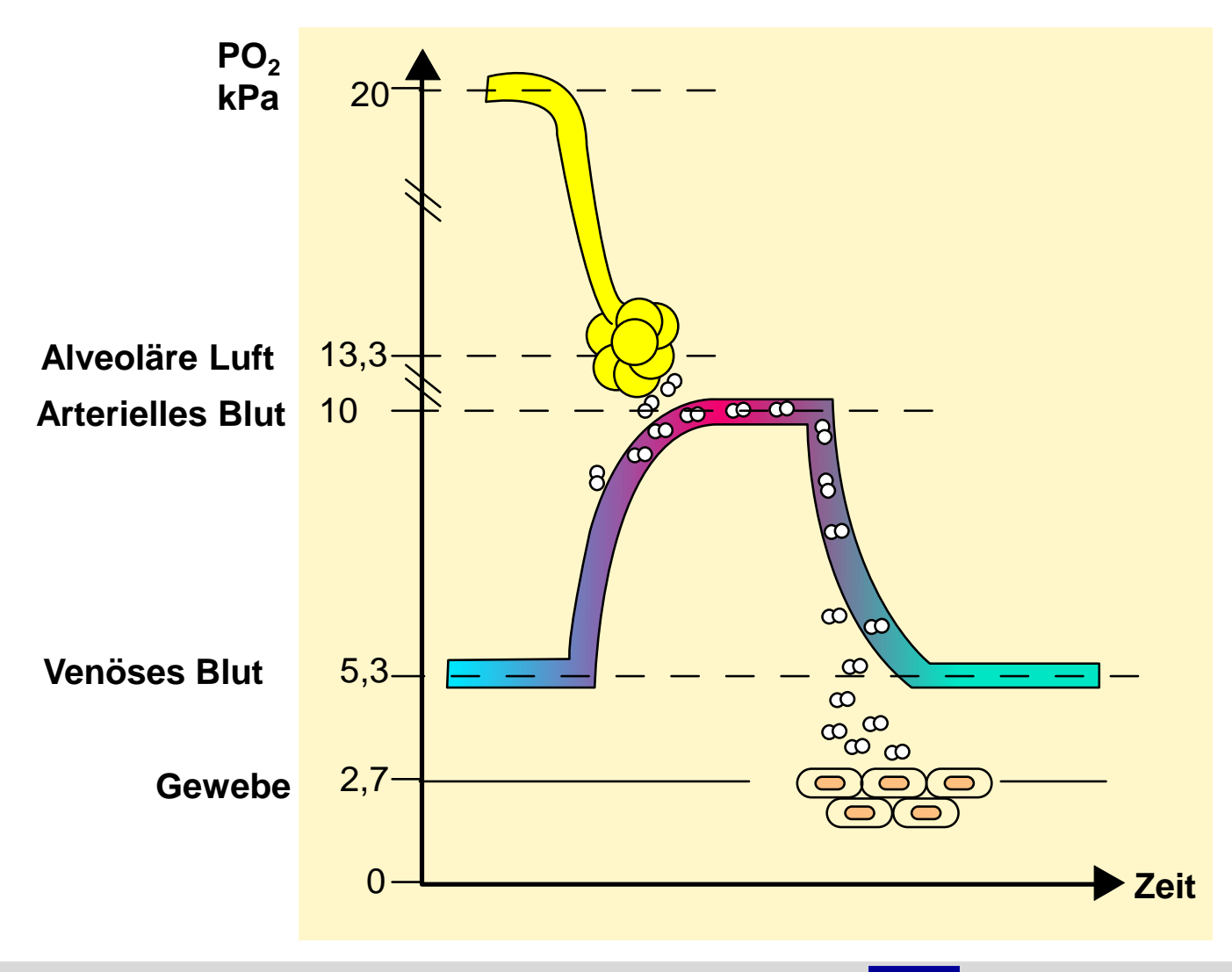






Zellulärer Gasaustausch Sauerstoff

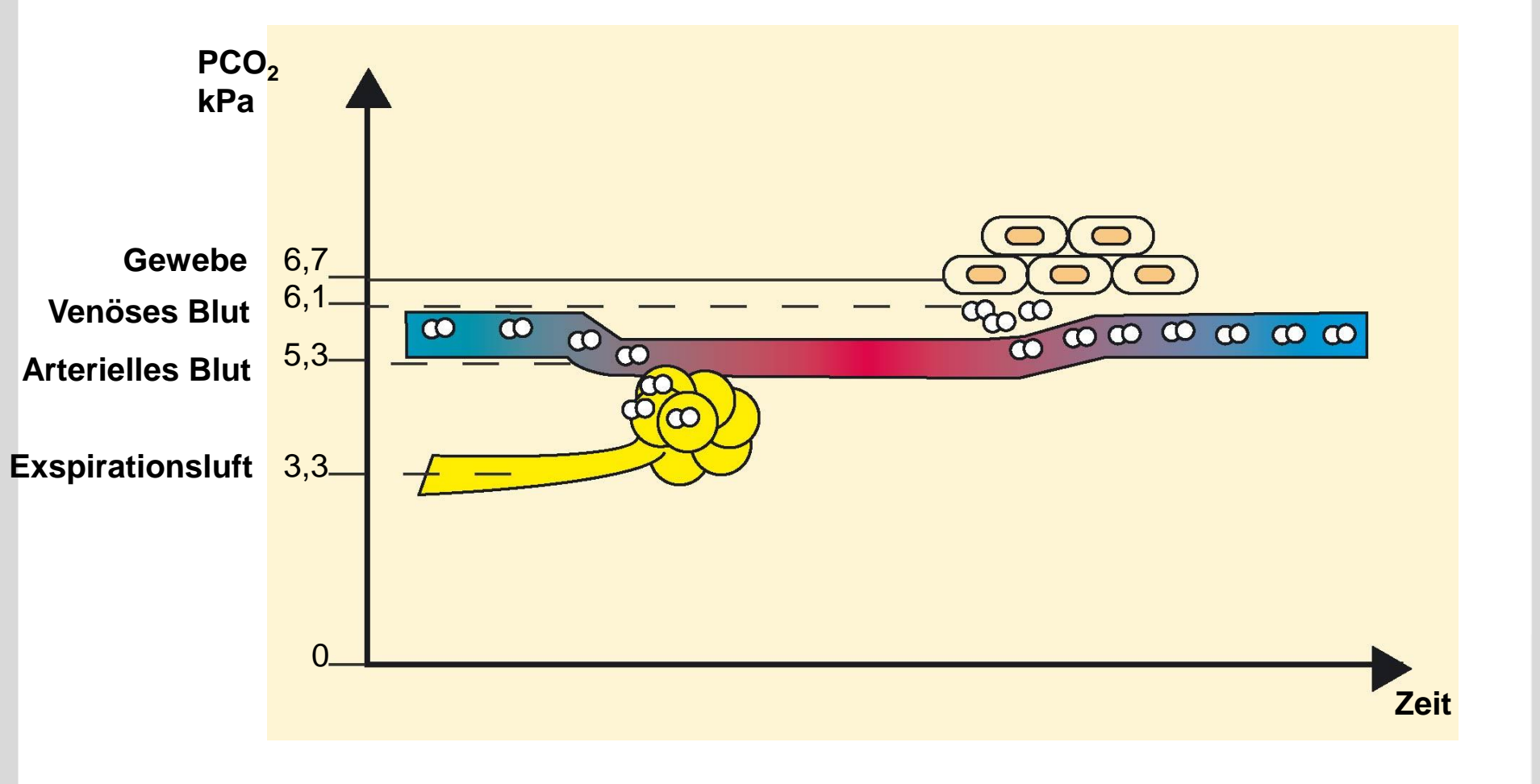






Zellulärer Gasaustausch Kohlendioxid





Blutgasanalyse – in vitro – Blut Entnahme



- Biochemische Verfahren zur Bestimmung der verschiedener Parameter:
- pH = 7,35–7,45 ; <7,35: <u>Azidose</u>; >7,45: <u>Alkalose</u>
- $pO_2 = 75-97 \text{ mm Hg}$ bzw. 10–12,9 <u>kPa</u> (je nach Alter)^[1]
- $s_aO_2 = 95-99 \% (Sauerstoffsättigung)$
- pCO₂ = 35–45 mm Hg bzw. 4,6– 6,0 <u>kPa^[1]</u> (Kohlendioxid-<u>Partialdruck</u>); weniger: <u>Hypokapnie</u>; mehr: <u>Hyperkapnie</u>
- HCO_{3(act)} = 21–26 mmol/l (aktuelles <u>Bicarbonat</u>)
- $HCO_{3(std)} = 23-27 \text{ mmol/l (Standard-Bicarbonat)}$
- BE (Basendefizit, <u>Basenabweichung</u> oder base excess) = 0 mval/l (-2 bis +3 mmol/l)



Sauerstoff Transport

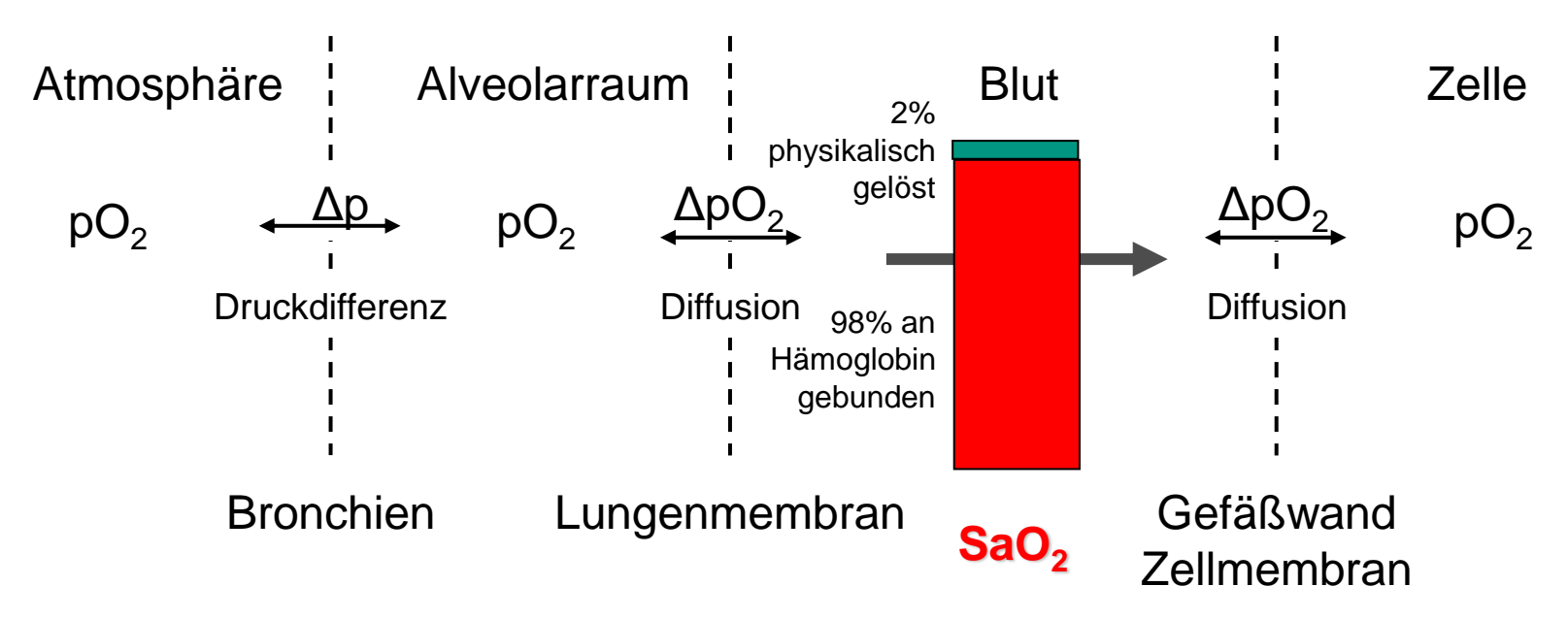


- Allgemein: Sauerstofftransport über Grenzflächen hinweg durch pO₂-Unterschiede
- Transportmechanismus: Diffusion

W. Stork - Biomedizinische Messtechnik I

Pulsoximetrie

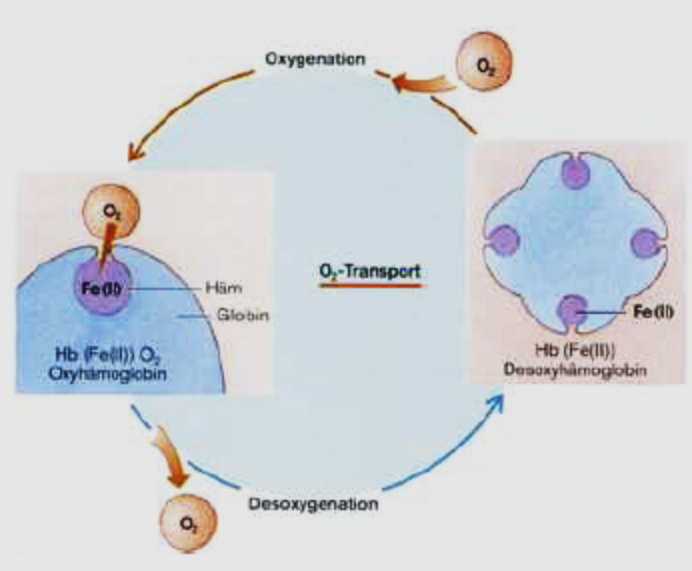
■ Bei Aufstieg in große Höhen durch Abnahme des Luftdrucks auch Abnahme des Sauerstoffpartialdrucks! → Probleme bei Sauerstoffaufnahme



Oxygenierung



Oxygenierung



[Klinke, Silbernagl: Lehrbuch der Physiologie, 1. Aufl.; Georg Thieme Verlag; Stuttgart, New York, 1994]

Fraktionen des Hämoglobin

- funktionelle Fraktionen
 - oxygeniertes O₂Hb
 - reduziertes Hb
- → Sauerstofftransport
- dysfunktionelle Fraktionen
 - Methämoglobin MetHb
 - Carboxyhämoglobin COHb
- → kein Sauerstofftransport



Sauerstoffsättigung



 Sauerstoffsättigung SaO₂: Anteil des mit Sauerstoff gesättigten Hämoglobins am Gesamt-Hämoglobin

$$SaO_2 = \frac{c_{HbO_2}}{c_{Hb,ges}} = \frac{c_{HbO_2}}{c_{HbO_2} + c_{Hb} + c_{MetHb} + c_{COHb}}$$

 c_{Hb} : Konzentration des reduzierte n Hämoglobins

 $c_{{\scriptscriptstyle HbO}}$: Konzentration des oxigenierten Hämoglobins

 $c_{\mbox{\tiny MetHb}}$: Konzentration an Methämoglobin (Hämoglobin ohne Sauerstoff affinität)

 $c_{{\scriptscriptstyle COHb}}$: Konzentration an Carboxyhämoglobin (Kohlenmonoxidgesättigt)

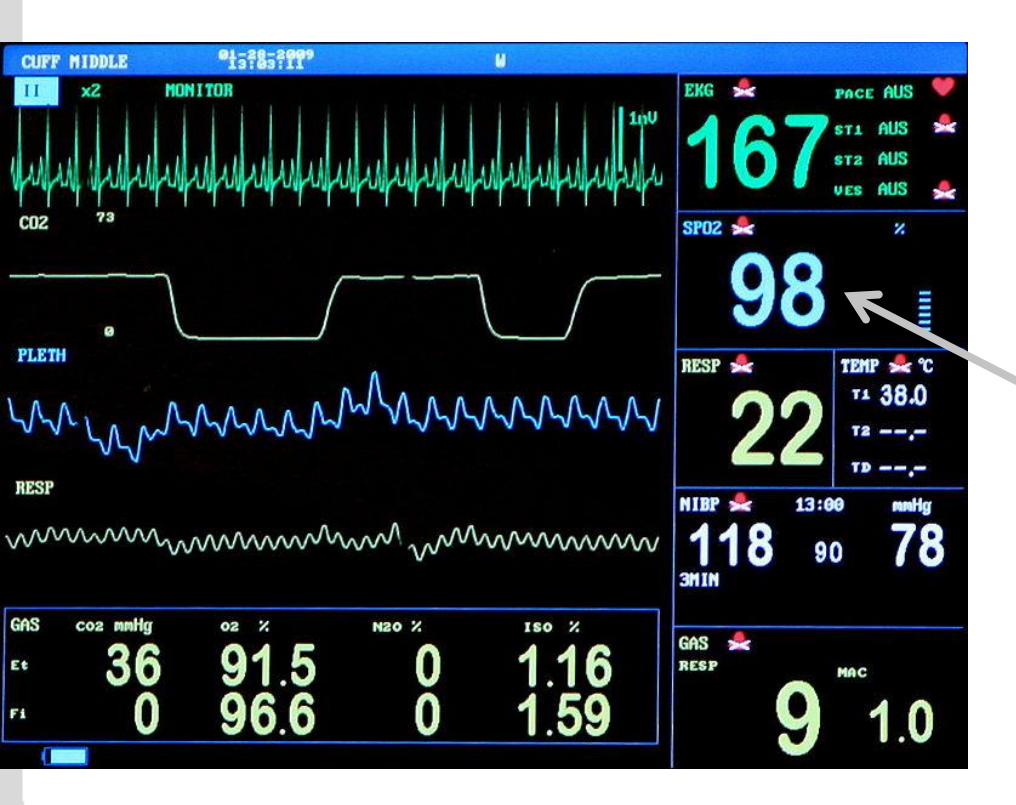
Sauerstoffsättigung



Normal: 97-100%

Behandlungsbedürftig: < 90%</p>

Gefährlich: < 85%</p>



Gebräuchliche Abkürzungen für Sauerstoffsättigungen verschiedener Herkunft

sO ₂	Sauerstoffsättigung allgemein
S _a O ₂	arterielle Sauerstoffsättigung (Messung in arterieller Blutprobe)
s _p o ₂	pulsoxymetrisch gemessene Sauerstoffsättigung (quasi-arteriell)
S _v O ₂	venöse Sauerstoffsättigung
S _{zv} O ₂	zentralvenöse Sauerstoffsättigung
s _⊽ o ₂	gemischtvenöse Sauerstoffsättigung



Pulsoximetrie: Grundlagen für Messtechnik



- Spektralphotometrie: Messung der Lichtabsorption bei Durchstrahlung
 - Substanz optisch homogen
 - Licht monochromatisch (Wellenlänge λ)
 - Probendicke konstant
- → Lambert-Beersches-Gesetz

Pulsoximetrie

$$I = I_0 \cdot e^{-\alpha d}$$

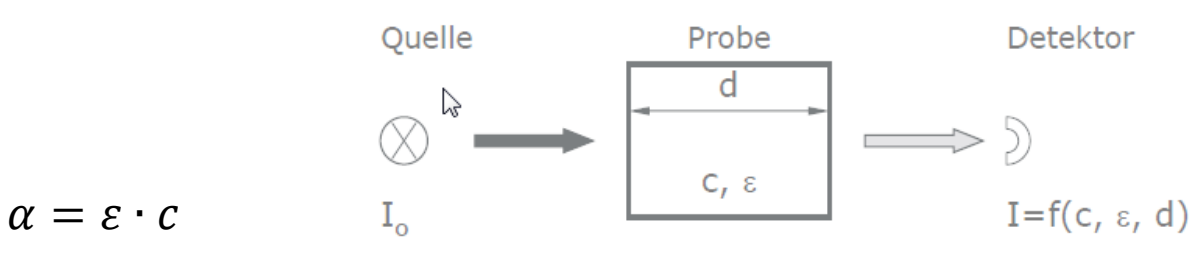
I: austretende Lichtintensität

 I_0 : eingestrahlte Lichtintensität

 α : Absorptionskoeffizie nt

d:Schichtdicke

Farbe des Blutes = f(Absorption) = f(Sauerstoffsättigung)





Pulsoximetrie: Grundlagen für Messtechnik



- Absorptionskoeffizient ist
 - Summe einzelner Absorptionskoeffizienten (bei gemischten Substanzen)
 - Wellenlängenabhängig
 - Materialspezifisch
 - Bei Lösungen abhängig von der Konzentration der gelösten Substanz

$$\alpha = \sum_{k} \varepsilon_{k}(\lambda) \cdot c_{k}$$

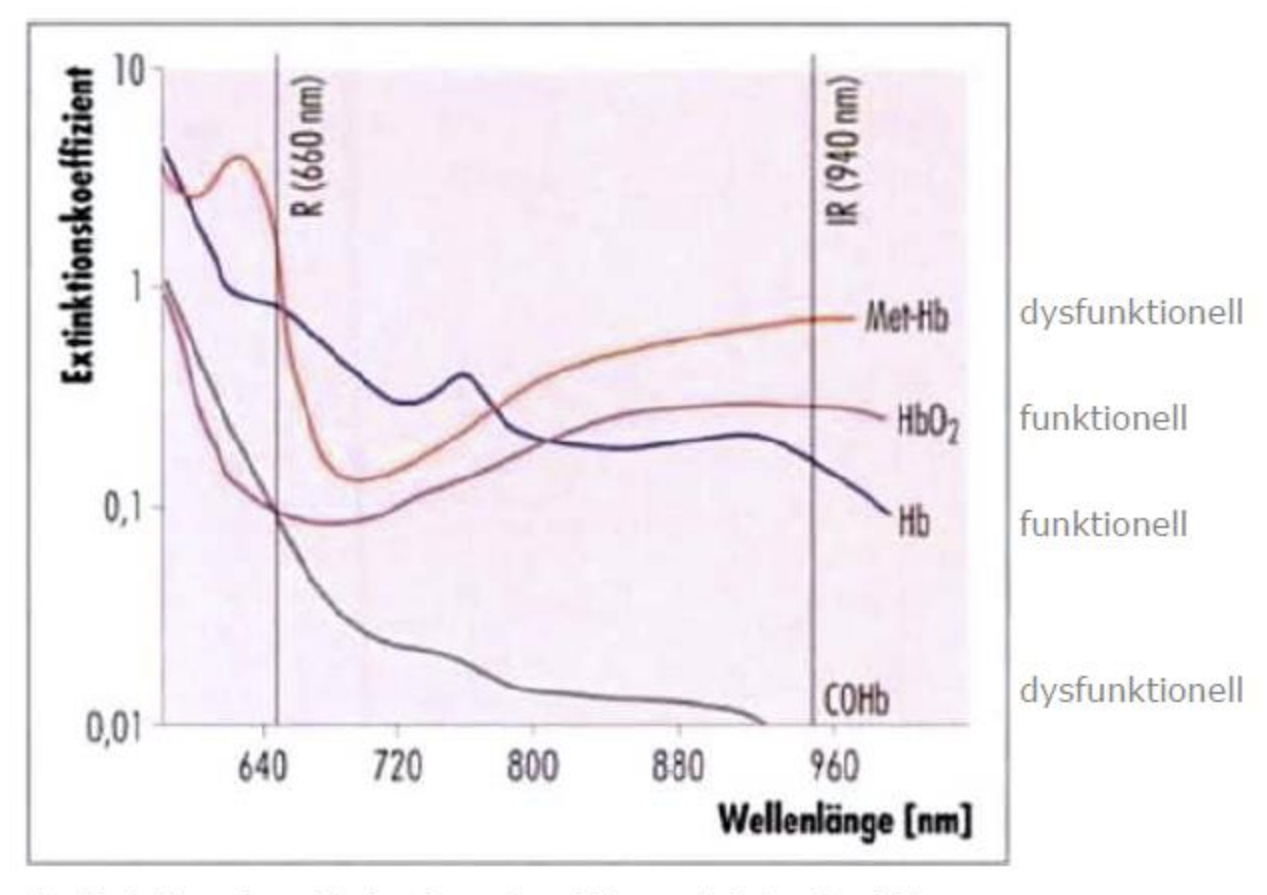
 ε : molarer Extinktionskoeffizie nt

 λ : Wellenlänge

c: Konzentration der gelösten Substanz

Extinktinskoeffizienten



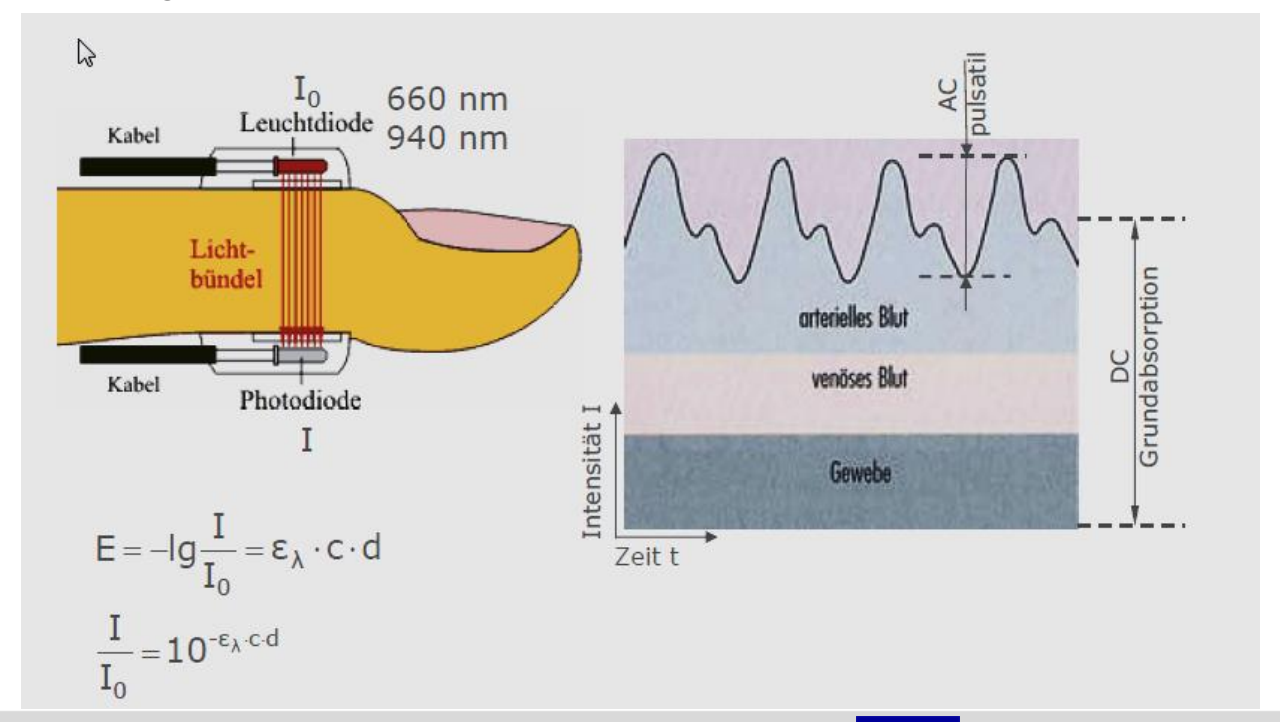


Extinktionskoeffizienten der Hämoglobin-Fraktionen





- Durchstrahlung von Gewebe mit Licht bekannter Wellenlänge
- Messung der Absorption (Bestimmung von α)
- Extinktionskoeffizient ε bekannt → Berechnung der Konzentrationsverhältnisse
- Berücksichtigung von N Konzentrationen → N Gleichungen notwendig → Messungen bei N Wellenlängen notwendig!
- Schichtdicke d muss bei allen Messungen konstant (oder bekannt) sein! Aber: Dickenänderung durch Pulsation!!





Pulsoxymetrie



Berechnung

$$\begin{split} I_{\text{max}} &= I_0 \cdot 10^{-\varepsilon(\lambda) \cdot c \cdot d_{\text{min}}} = I_0 \cdot K(\lambda) \\ I_{\text{min}} &= I_0 \cdot 10^{-\varepsilon(\lambda) \cdot c \cdot d_{\text{max}}} = I_0 \cdot K(\lambda) \cdot 10^{-\varepsilon(\lambda) \cdot c \cdot (d_{\text{max}} - d_{\text{min}})} \\ I(\lambda, t) &= I_0 \cdot K(\lambda) \cdot 10^{-d(t) \cdot [\varepsilon_{Hb}(\lambda) \cdot c_{Hb} + \varepsilon_{O_2Hb}(\lambda) \cdot c_{O_2Hb}]} \end{split}$$

$$\text{mit} \quad S_a O_{2_{\mathit{flunc}}} = \frac{c_{O_2 \mathit{Hb}}}{c_{O_2 \mathit{Hb}} + c_{\mathit{Hb}}} \quad \text{und} \quad c_{\mathit{ges}} = c_{O_2 \mathit{Hb}} + c_{\mathit{Hb}}$$

W. Stork - Biomedizinische Messtechnik I

Pulsoximetrie

$$I(\lambda,t) = I_0 \cdot K(\lambda) \cdot 10^{-d(t) \cdot [\varepsilon_{Hb}(\lambda) \cdot c_{ges} + S_a O_{2_{flunc}} \cdot (\varepsilon_{O_2Hb}(\lambda) \cdot c_{ges} - \varepsilon_{Hb}(\lambda) \cdot c_{ges})]}$$



- Ziel: Bestimmung der funktionellen Sauerstoffsättigung
- Annahme: Nur Oxyhämoglobin und reduziertes Hämoglobin → Messung bei zwei Wellenlängen

$$\begin{split} \alpha(\lambda) &= \sum_{k} \varepsilon_{k}(\lambda) \cdot c_{k} = \varepsilon_{Hb}(\lambda) \cdot c_{Hb} + \varepsilon_{HbO_{2}}(\lambda) \cdot c_{HbO_{2}} \\ &= \varepsilon_{Hb}(\lambda) \cdot \left(c_{Hb} + c_{HbO_{2}}\right) \cdot \left(1 - SaO_{2}\right) + \varepsilon_{HbO_{2}}(\lambda) \cdot \left(c_{Hb} + c_{HbO_{2}}\right) \cdot SaO_{2} \\ &= \varepsilon_{Hb}(\lambda) \cdot c_{ges} \cdot \left(1 - SaO_{2}\right) + \varepsilon_{HbO_{2}}(\lambda) \cdot c_{ges} \cdot SaO_{2} \\ &= \varepsilon_{Hb}(\lambda) \cdot c_{ges} + \left(\varepsilon_{HbO_{2}}(\lambda) - \varepsilon_{Hb}(\lambda)\right) \cdot c_{ges} \cdot SaO_{2} \end{split}$$

Berücksichtigung der Schichtdickenänderung?

W. Stork - Biomedizinische Messtechnik I

Pulsoximetrie

- Maximale gemessene Lichtintensität I_{max} in der Diastole (d_{min})
- Minimale gemessene Lichtintensität I_{min} in der Systole (d_{max})

$$\begin{split} I_{\text{max}} &= I_0 \cdot e^{-\alpha(\lambda)d_{\text{min}}} =: I_0 \cdot A(\lambda) \\ I_{\text{min}} &= I_0 \cdot e^{-\alpha(\lambda)d_{\text{max}}} = I_0 \cdot e^{-\alpha(\lambda)(d_{\text{min}} + \Delta d)} = I_0 \cdot A(\lambda) \cdot e^{-\alpha(\lambda)\Delta d} \end{split}$$



- Vier Unbekannte:
 - lacksquare lacksquare
 - d(t)
 - $\alpha(\lambda)$
 - SaO₂
- → vier Gleichungen
- → vier Messungen
- Messung mit zwei Wellenlängen (λ_1, λ_2) zur gleichen Zeit (Dickenänderung $\Delta d=0$) zu zwei Zeitpunkten (t_1,t_2)
 - $I(\lambda_1, t_1)$
 - $I(\lambda_1, t_2)$



Verhältnis von zwei gemessenen Lichtintensitäten:

$$\frac{I(\lambda_1, t_1)}{I(\lambda_1, t_2)} = e^{-\alpha(\lambda_1)(d(t_1) - d(t_2))}$$

$$\frac{I(\lambda_2, t_1)}{I(\lambda_2, t_2)} = e^{-\alpha(\lambda_2)(d(t_1) - d(t_2))}$$

Logarithmieren und Division beider Gleichungen

$$\Omega = \frac{\ln \frac{I(\lambda_1, t_1)}{I(\lambda_1, t_2)}}{\ln \frac{I(\lambda_2, t_1)}{I(\lambda_2, t_2)}} = \frac{\alpha(\lambda_1)}{\alpha(\lambda_2)}$$



lacksquare Einsetzen der Beziehung für $\alpha(\lambda)$

$$\Omega = \frac{\varepsilon_{Hb}(\lambda_1) \cdot c_{ges} + (\varepsilon_{HbO_2}(\lambda_1) - \varepsilon_{Hb}(\lambda_1)) \cdot c_{ges} \cdot SaO_2}{\varepsilon_{Hb}(\lambda_2) \cdot c_{ges} + (\varepsilon_{HbO_2}(\lambda_2) - \varepsilon_{Hb}(\lambda_2)) \cdot c_{ges} \cdot SaO_2}$$

Auflösen nach SaO₂

$$SaO_{2} = \frac{\varepsilon_{Hb}(\lambda_{1}) - \Omega \cdot \varepsilon_{Hb}(\lambda_{2})}{\Omega \cdot \left(\varepsilon_{HbO_{2}}(\lambda_{2}) - \varepsilon_{Hb}(\lambda_{2})\right) - \left(\varepsilon_{HbO_{2}}(\lambda_{1}) - \varepsilon_{Hb}(\lambda_{1})\right)}$$

Pulsoximetrie: Praktische Umsetzung



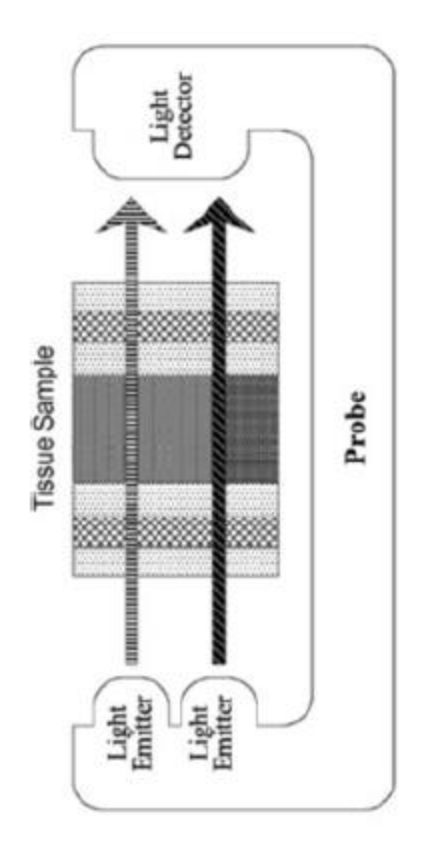
- In praxi: Abtastung der durchgetretenen Lichtintensität bei Lichtpulsen (200Hz – 2kHz)
 - $\rightarrow \lambda_1$ =660nm, λ_2 =940nm
 - → Splitted-Pulse-Wave-Verfahren
 - → Plethysmogramm
- Bestimmung der Sauerstoffsättigung durch Herausnahme von zwei Messwerten für O
- SaO₂-Bestimmung über Pulsoximetrie: SpO₂
- Theoretisch: Linearer Zusammenhang zwischen Ω und SpO2
 - Aber: Streuung des Lichts im durchstrahlten Gewebe
 - Gesetz von Lambert-Beer gilt nur näherungsweise
 - =>Empirische Kalibration
- Die Normalwerte der mittels Pulsoximetrie ermittelten Sauerstoffsättigung liegen im Bereich von 97 bis 100%. Als behandlungsbedürftig gelten Werte von etwa 90% und weniger. Werte unterhalb 85% sind kritisch.



Pulsoximeter-transmissiv



I Transmission





Finger-Clip



Neonatal-Clip (Einmalprodukt)



Ohr-Clip

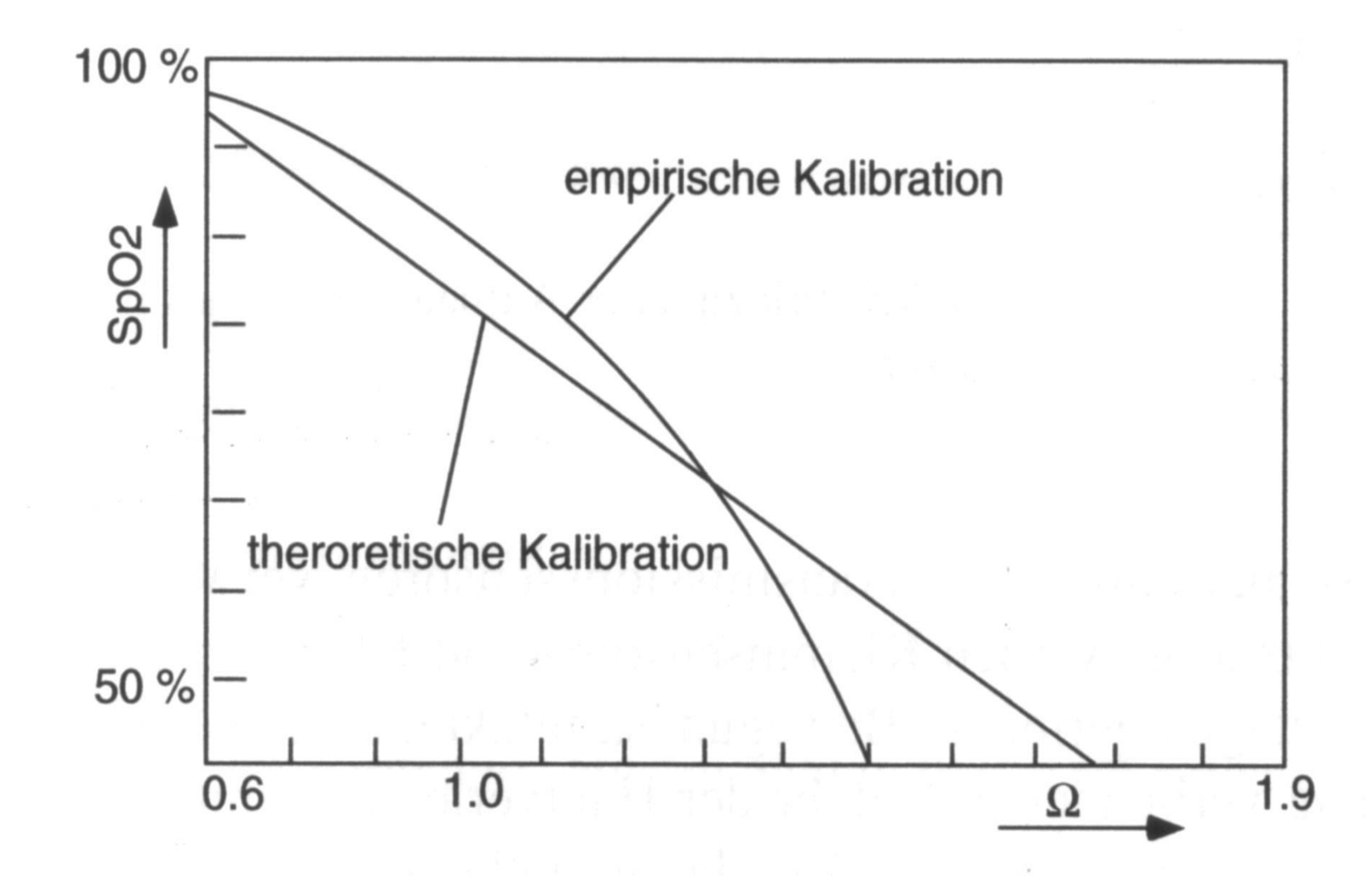


Neonatal-Clip (wieder verwendbar)



Pulsoximetrie: Empirische Kalibration





Pulsoximetrie: Messprobleme

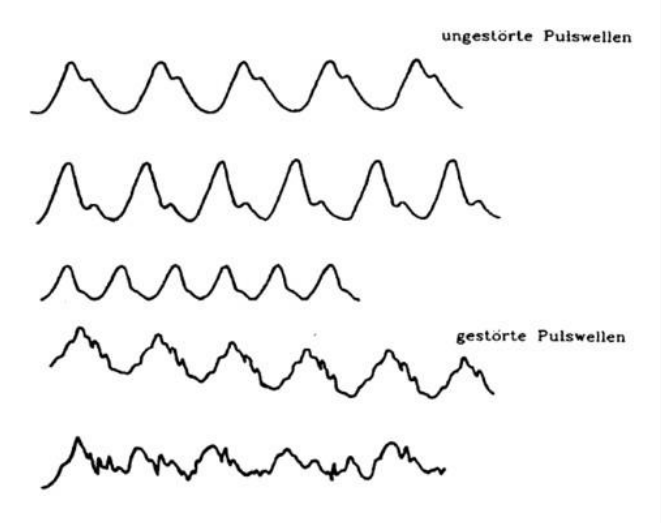


- Streulicht, Bewegungsartefakte
 - Umgebungslicht mit unbekanntem Spektrum
- Verwendete Leuchtdioden strahlen Spektrum ab
 - Mehrere Wellenlängen
 - Bei ungeschickter Wahl der Wellenlänge: Starke Änderungen von ε → Verfälschungen durch unterschiedliche Extinktionskoeffizienten
- Minderperfusion
 - Schlechtes Signal-Rausch-Verhältnis → erhöhter Messfehler
- Abhängigkeit von Absolutwert

Pulsoximetrie

nicht-linearer Zusammenhang zwischen pO₂ und SpO₂ → Erniedrigung der Messgenauigkeit bei geringerer Sättigung (>±5% bei SpO₂=70%)

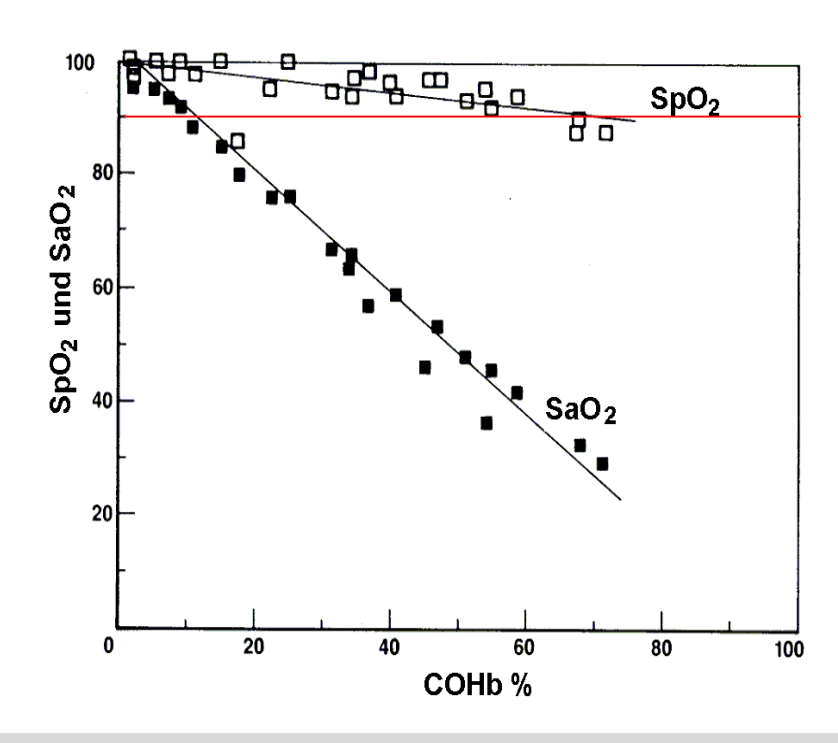
W. Stork - Biomedizinische Messtechnik I



Pulsoximetrie: Messprobleme



- Dyshämoglobine
 - Methämoglobin und Carboxyhämoglobin werden nicht berücksichtigt!
 - Hohe Carboxyhämoglobin-Konzentrationen täuschen relativ hohes SpO₂ vor (Rauchvergiftung)!



Pulsoximetrie



Pulsoximetrie: Messprobleme

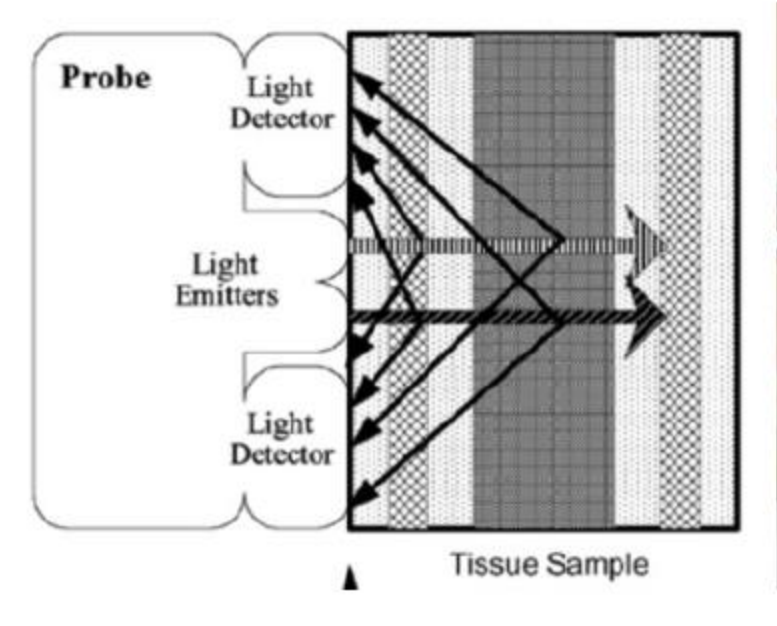


- Farbstoffe, Medikamente
 - Beeinträchtigung der Sauerstoffaffinität von Hämoglobin durch Medikamente → Erhöhung der Dyshämogloin-Fraktionen
 - Zumischung von Farbstoffen zum Blut für funktionale Tests (z.B. HZV-Bestimmung) → Verfälschung des SpO₂-Werts
- Anämische Hypoxie
 - SpO₂ gibt nur Auskunft über relative Sättigung des vorhandenen Hämoglobins
 - Keine Diagnose von zu wenig vorhandenem Hämoglobin möglich! → Sauerstoffunterversorgung trotzdem möglich!



Reflexionspulsoximeter





W. Stork - Biomedizinische Messtechnik I

Pulsoximetrie



Stirnbandsensor

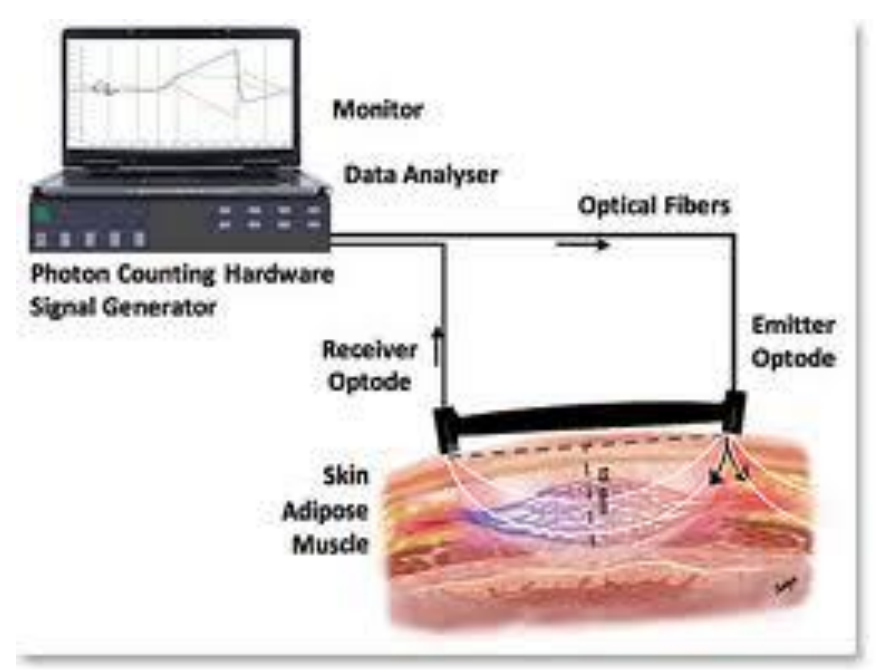


NIRS – Nahe Infrarot Spektroskopie



Bestimmung der Gerhirnaktivität unmittelbar

unter dem Schädelknochen



Pulsoximetrie









